

## طراحی و بهینه سازی آبودینامیکی پره توربین بادی مگاواتی بر پایه تئوری اندازه حرکت المان پره

حمید مرادتبریزی<sup>۱</sup>، امیر نجات<sup>۲\*</sup>

۱- کارشناسی ارشد، مهندسی مکانیک، دانشگاه تهران، تهران

۲- استادیار، مهندسی مکانیک، دانشگاه تهران، تهران

\* تهران، nejat@ut.ac.ir، 1439955963

### چکیده

در این مقاله روشی کاربردی برای طراحی آبودینامیکی پره توربین بادی مگاواتی بر پایه تئوری اندازه حرکت المان پره ارائه شده است. روش کار به این صورت است که ابتدا براساس تئوری اندازه حرکت المان پره ایده‌آل یک طراحی اولیه انجام گرفته و سپس روشی برای اصلاحات هندسی به منظور نزدیک کردن هندسه پره به شکل عملی و کاربردی ارائه شده است. مزیت این روش آن است که طراحی پره بر پایه تعداد متغیرهای ورودی کمتری انجام می‌گیرد و در عین حال نتایج بدست آمده از آن مطابقت خوبی با توربین مرجع در نظر گرفته شده، یعنی توربین ۵ مگاواتی مربوط به مؤسسه ملی انرژی های نوی ایالات متحده نشان می‌دهد. بنابراین استفاده از این روش می‌تواند برای دست یافتن به یک طراحی اولیه آبودینامیکی، پایه‌ای مناسب باشد. در انتهای طراحی اولیه، یک بهینه‌سازی توسط روش الگوریتم ژنتیک و استفاده از خم بزرگ به روی منحنی زاویه پیچش و با در نظر گرفتن شرایط منطقه لوتک در نزدیکی زلزله در استان سیستان و بلوچستان طراحی شده و به منظور نشان دادن کارایی آن در شرایط واقعی، شبیه‌سازی و حل سه بعدی آن به روش دینامیک سیالات محاسباتی انجام شده است و نتایج آن با نتایج به دست آمده از روش اندازه حرکت المان پره مقایسه شده است که مطابقت قابل قبولی را نشان می‌دهد.

### اطلاعات مقاله

مقاله پژوهشی کامل

دریافت: ۰۶ تیر ۱۳۹۴

پذیرش: ۲۸ مرداد ۱۳۹۴

راهه در سایت: ۲۸ شهریور ۱۳۹۴

کلید واژگان:

طراحی آبودینامیکی

تئوری اندازه حرکت المان پره

اصلاحات هندسی پره

بهینه‌سازی توسط الگوریتم ژنتیک

حل سه‌بعدی به روش دینامیک سیالات

محاسباتی

## Aerodynamic design and optimization of a Megawatt wind turbine blade based on Blade Element Momentum theory

Hamid Moradtabrizi, Amir Nejat \*

Department of Mechanical Engineering t, University of Tehran, Tehran, Iran.

\* P.O.B. 1439955963, Tehran, Iran, nejat@ut.ac.ir

### ARTICLE INFORMATION

Original Research Paper

Received 27 June 2015

Accepted 19 August 2015

Available Online 19 September 2015

#### Keywords:

Aerodynamic design  
Blade Element Momentum (BEM) theory  
blade geometric Modification  
optimization using Genetic algorithm  
3D CFD simulation

### ABSTRACT

In this paper, a useful method proposed for aerodynamic design of Megawatt wind turbine blade based on Blade Element Momentum (BEM) theory. In this method first a preliminary design is done based on the ideal BEM and then a method have been offered for geometric modifications to approximate the geometry of the blade to a real and functionally one. The advantage of this method is that needed few design parameters that simplify the design procedure, however its results are in good agreement with 5MW NREL reference wind turbine assumed as validation case and show that with use of this method can achieve a good aerodynamic design. Then the twist angle has been optimized using Genetic algorithm and Bezier curve with annual energy production (AEP) as the goal function. At the end, a 2.5 MW wind turbine has been design based on this method with considering the Lootak site specifications in province of Sistan and Baluchestan. Then 3D model of the blade has been made and CFD simulation applied on that for showing the designed turbine operation in real conditions and comparison with BEM method. The results show that is acceptable compatibility between two analytical methods.

### ۱- مقدمه

سطح زندگی در دنیا مصرف انرژی روز به روز افزایش پیدا می‌کند و این در حالی است که افزایش مصرف انرژی‌های فسیلی سبب مشکلات زیست محیطی فراوانی از جمله گرمایش زمین و آلودگی هوا می‌شود که اثرات جبران ناپذیری را در بر دارد. بنابراین در سال‌های اخیر توجه ویژه‌ای به استفاده از دیگر صورت‌های انرژی به خصوص انرژی‌های پاک و تجدیدپذیر<sup>۱</sup> شده است که انرژی بادی یکی از مهم‌ترین و در دسترس‌ترین آن‌ها است و در

1- Renewable energy

انرژی پایه و اساس توسعه اقتصادی و اجتماعی است و جامعه بشری در ابتدای قرن بیست و یکم با یکی از بزرگترین چالش‌های دوران یعنی حفظ منابع انرژی روبرو است. زندگی انسان امروزی به شدت به انرژی‌های فسیلی از جمله نفت و ذغال سنگ وابسته می‌باشد، در صورتی که بررسی‌ها نشان دهند که منابع این نوع از انرژی تا چند دهه دیگر به اتمام خواهد رسید. از طرفی با افزایش روز افزون جمعیت و پیشرفت صنعتی جهانی و بالا رفتن

برای ارجاع به این مقاله از عبارت ذیل استفاده نمایید:

H. Moradtabrizi, A. Nejat, Aerodynamic design and optimization of a Megawatt wind turbine blade based on Blade Element Momentum theory, *Modares Mechanical Engineering*, Vol. 15, No. 10, pp. 279-290, 2015 (In Persian)

زاویه حمله<sup>7</sup> ایرفویل در هر مقطع از طول پره را شامل می شود؛ تا بتواند با در نظر گرفتن شرایط محیطی خاص بیشترین بازدهی انرژی و توان تولیدی را داشته باشد.

در رابطه با طراحی و تحلیل آبودینامیکی توربین های بادی کارهای مختلفی انجام شده است. به عنوان نمونه، صداقت و میرحسینی [3] یک توربین بادی 300 کیلوواتی را برای استان سمنان طراحی کرده اند. آنها برای این کار پس از مشخص کردن شرایط آب و هوایی سمنان و در نظر گرفتن یک ایرفویل خاص، با استفاده از تئوری اندازه حرکت المان پره<sup>8</sup> به صورت ایدهآل و بدون در نظر گرفتن هیچ گونه تصحیحی به منظور نزدیک تر کردن نتایج به واقعیت و پوشش نقایص این نظریه، مشخصات آبودینامیکی یک پره را ارائه کرده اند. اما همان طور که گفته شد این نتایج عملاً در توربین های واقعی غیرقابل استفاده است یا حداقل ممکن است برای توربین های کوچک مورد استفاده قرار گیرد، اما برای توربین های بزرگ قطعاً این گونه نخواهد بود. بومسوک و همکاران [4] نیز با استفاده از روش اندازه حرکت المان پره به طراحی یک توربین بادی 3 مگاواتی با شرایط آب و هوایی و عملکردی مورد نظرشان پرداخته اند. آنها در محاسبات آبودینامیکی تصحیح نوک پره را اعمال و چندین فرمول را برای محاسبه طول وتر با هم مقایسه کرده اند و در آخر تغییرات طول وتر خطی در نظر گرفته شده است. این حالت نیز نمی تواند به طور کامل عملیاتی باشد، آنها در ادامه با استفاده از روش دینامیک سیالات محاسباتی پره طراحی شده را تحلیل کرده اند. در مقاله ای دیگر بومسوک و همکاران [5] با استفاده از روش اندازه حرکت المان پره و با در نظر گرفتن تصحیحات لازم نرم افزاری را طراحی کرده اند که برای شرایط آب و هوایی خاص و ایرفویل های معلوم، تغییرات طول وتر و زاویه پیچش ایرفویل ها در راستای طول پره را با در نظر گرفتن بیشترین ضربت توان در هر مقطع از پره به عنوان تابع هدف، به دست می دهد. سپس آنها برای شرایط توربین 5 مگاواتی موسسه انرژی های نوی آمریکا<sup>9</sup> توربینی طراحی و با توربین اصلی مقایسه کرده اند که البته تغییرات طول وتر در راستای پره دچار نوسان و پستی و بلندی زیادی شده است که عملاً ساخت چنین پره ای را غیرممکن می سازد. به علاوه چگونگی اعمال تصحیح و تغییر طول وتر و زاویه پیچش توضیح داده نشده است.

در این مقاله روشی به عنوان مبنای طراحی آبودینامیکی شکل پره یک توربین باد مگاواتی بر پایه تئوری اندازه حرکت المان پره ارائه شده است. طراحی آبودینامیکی انجام شده می تواند پایه و اساسی برای جنبه های دیگر طراحی توربین باشد و روش ارائه شده به گونه ای است که نتایج حاصل به حالت واقعی و قابل بهره برداری به صورت عملی نزدیک بوده و تنها صرفاً از تئوری ایدهآل استفاده نشده است و در نهایت کمترین نیاز به بهینه سازی را دارد. برای مقایسه نتایج روش ارائه شده، توربین 5 مگاواتی مربوط به مؤسسه ملی انرژی های نوی ایالات متحده آمریکا به عنوان مرجع و نمونه در نظر گرفته شده است. مشخصات هندسی و شرایط کاری این توربین و نیز نتایج عددی آن در مرجع [6] منتشر شده است و در بخش بعد برخی از مشخصات هندسی و آبودینامیکی آن معرفی شده اند.

از آن جا که ایران یکی از کشورهایی است که در زمینه انرژی بادی پتانسیل خوبی دارد. در سال های اخیر، به منظور کاهش وابستگی به نفت توجه ویژه ای به این نوع انرژی شده و سعی شده است تا فرآیندهای طراحی و

مقایسه با بسیاری از انواع انرژی های نو مانند انرژی خورشیدی و یا زمین گرمایی بسیار ارزان تر می باشد. از این رو بسیاری از کشورها به استفاده از این انرژی روی آورده اند؛ به طور مثال کشور دانمارک قرار است تا سال 2025 بیش از 50% برق مصرفی خود را از این طریق تأمین کند. همچنین بررسی ها نشان می دهد که ظرفیت جهانی استفاده از انرژی باد تا سال 2014 تا میزان 409 گیگاوات افزایش خواهد یافت که رشد سالیانه حدود 20/9% را نشان می دهد [1].

بنابراین طراحی توربین هایی با ظرفیت بالا که بتوان هر چه بیشتر از باد موجود انرژی جذب کنند در حالی که هزینه کمتری داشته باشند اهمیت ویژه ای دارد. این موضوع خود را با بزرگ تر شدن توربین های بادی از توان نشان می دهد، به طوری که در سال های اخیر اندازه توربین های بادی از توان حدود 50 کیلووات و قطر 10 الی 15 متر به توان حدود 5 مگاوات و قطر حدود 126 متر افزایش پیدا کرده است و روز به روز هم در حال افزایش مساحت مؤثر روتور رابطه مستقیم دارد، با افزایش قطر روتور سطح مؤثر پوشش داده شده در برابر باد افزایش می یابد و در نتیجه توان تولیدی نیز افزایش پیدا می کند. البته با افزایش قطر پره ها هزینه مواد اولیه و ساخت نیز تقریباً با توان دوم شعاع افزایش پیدا می کند؛ اما از طرفی با افزایش ارتفاع، سرعت متوسط باد نیز زیاد می شود، بنابراین توربین در معرض باد شدیدتری قرار می گیرد و از آن جا که توان تولید شده با توان سوم سرعت باد رابطه مستقیم دارد، تأثیر به سزا دی در افزایش توان تولیدی دارد. با توجه به آنچه که گفته شد به طور کلی با بزرگ تر شدن توربین هزینه مصرفی به ازای واحد انرژی تولید شده یا به عبارتی هزینه انرژی<sup>1</sup> کاهش پیدا می کند که همین موضوع سبب رواج استفاده از توربین های مگاواتی شده است [2]. امروزه بیشتر توربین های مگاواتی مورد استفاده در خشکی<sup>2</sup> در حدود 2 الی 3 مگاوات توان دارند و توربین های 5 مگاواتی در دریا نصب می شوند<sup>3</sup>، اما از جهت شکل پره و طراحی آبودینامیکی با هم تفاوتی ندارند.

یک توربین بادی، مجموعه ای پیچیده شامل بخش های متعددی است که در حین پیچیدگی ارتباط باید با هماهنگی کامل با یکدیگر کار کنند. به علاوه توربین باید برای هر منطقه آب و هوایی و محیطی و به عبارتی شرایط یک سایت خاص سازگار شود. این موارد طراحی یک توربین بادی را به یک فرآیند پیچیده تبدیل می کند که در آن باید میان عوامل زیادی تعادل برقرار شده و تصمیم های زیادی گرفته شود تا به کارایی و بهره وری اقتصادی رسید. فرآیند طراحی یک توربین بادی یک فرآیند چند جانبه بوده و بخش های مختلفی از مهندسی از جمله آبودینامیک، مقاومت مصالح، علم مواد، برق، کنترل و ساخت و تولید را در بر می گیرد. اما به یقین می توان ادعا کرد که آبودینامیک نقطه آغازین فرآیند طراحی بوده و اساسی ترین نقش را در آن دارد، چرا که از یک سو در تعیین انرژی تولیدی سالیانه<sup>4</sup> نقش مستقیم دارد و از سویی دیگر نیرو های آبودینامیکی وارد پره، بر روی نتایج سازه ای و اقتصادی تأثیرگذار است. طراحی آبودینامیکی یک توربین بادی عبارت است از به دست آوردن یک هندسه مناسب از جمله قطر، تعداد پره و مهم تر از همه شکل پره که نوع ایرفویل ها، ضخامت، طول وتر<sup>5</sup> و زاویه قرار گیری آنها نسبت به صفحه چرخش روتور که زاویه پیچش<sup>6</sup> نامیده شده و یا به عبارتی

1- Cost Of Energy (COE)

2- Onshore

3- Offshore

4- Annual Energy Production (AEP)

5- Chord length

6- Twist angle

### 3- طراحی آیرودینامیکی

روش‌های طراحی نظری و به عبارتی ایده‌آل متعددی که بر پایه تئوری اندازه حرکت المان پره هستند در مراجع مختلفی در دسترس است [7-9]. لازم به ذکر است که روش اندازه حرکت المان کلاسیک در مراجع ذکر شده در دسترس بوده و به همین دلیل از توضیحات بیشتر در رابطه با آن خودداری شده است. همان‌طور که در مقدمه گفته شد و به چند نمونه از کارهای انجام شده در رابطه با طراحی آیرودینامیکی پره توربین اشاره شد، در بیشتر کارها تنها به طراحی ایده‌آل اکتفا شده [3] و بیشتر مربوط به توربین‌های کوچک هستند. در برخی که مربوط به توربین‌های مگاواتی می‌شوند، تصحیحاتی انجام شده است [10,4] که البته معمولاً در یک مرحله انجام شده و ناهمگونی هایی در هندسه وجود دارد. اما روشی که در این مقاله از آن استفاده شده است، با آنچه که معمولاً از آن استفاده می‌شود کمی متفاوت است. شکل 2 نمایی از روند کلی طراحی مورد استفاده در این مقاله را نشان می‌دهد که در ادامه هر بخش از آن توضیح داده شده است.

#### 3-1- طراحی ایده‌آل

نیروهای آیرودینامیکی وارد بر یک مقطع از پره در شکل 3 نشان داده شده است. با صرف‌نظر از نیروی پسا، رابطه بین ضریب القای محوری<sup>7</sup>،  $a'$ ، با ضریب القایی مماسی<sup>8</sup>،  $a'$ ، و نسبت سرعت محلی<sup>9</sup>،  $\lambda_r$ ، از هم مستقل شده و به صورت روابط (1) و (2) در خواهد آمد.

$$a' = \frac{1-3a}{4a-1} \quad (1)$$

$$\lambda_r = (4a - 1) \sqrt{\frac{1-a}{1-3a}} \quad (2)$$

نسبت سرعت محلی برای یک المان از پره در شعاع  $r$ ، با توجه به سرعت باد و سرعت گردش روتور به صورت رابطه (3) تعریف می‌شود:

$$\lambda_r = \frac{r\omega}{v_\infty} \quad (3)$$

بورتون در مرجع [7] نشان داده است که تأثیر نادیده گرفتن نیروی پسا در فاز طراحی بسیار ناچیز است. البته این خطاب به دلیل ماهیت حل تکرار شونده روش طراحی ارائه شده و همچنین وارد شدن نیروی پسا در محاسبه نتایج آیرودینامیکی و چک کردن شرایط همگرایی تقریباً از بین خواهد رفت. با مشخص شدن ضرایب القایی، زاویه پیچش ایده‌آل،  $\theta$ ، با توجه به شکل 3 توسط روابط (4) و (5) قابل محاسبه است.

$$\theta = \tan^{-1} \left[ \frac{(1-a)}{(1+a')\lambda_r} \right] \quad (4)$$

$$\theta = \theta - \alpha_{ideal} \quad (5)$$

که در اینجا،  $\theta$ ، زاویه جریان، یعنی زاویه بردار سرعت نسبی باد و صفحه روتور است. زاویه حمله ایده‌آل،  $\alpha_{ideal}$ ، نیز زاویه‌ای است که در آن ایرفویل بیشترین بازدهی آیرودینامیکی را دارد. به عبارتی در این زاویه نسبت ضریب نیروی برآ به نسبت ضریب نیروی پسا بیشینه خواهد بود.

بنابر آن‌چه گفته شد اکنون روشی در دست است که زاویه پیچش هر المان از پره را براساس فاصله از مرکز روتور محاسبه می‌کند. تنها چیزی که باقی مانده است یافتن طول وتر هر المان در راستای طول پره است. با استفاده از تئوری دیسک عملگر<sup>10</sup> نیروی عمود بر صفحه روتور که بر اثر افت فشار در این صفحه ایجاد می‌شود برای یه المان حلقه‌ای به ضخامت  $dr$  توسط رابطه (6) به دست می‌آید.

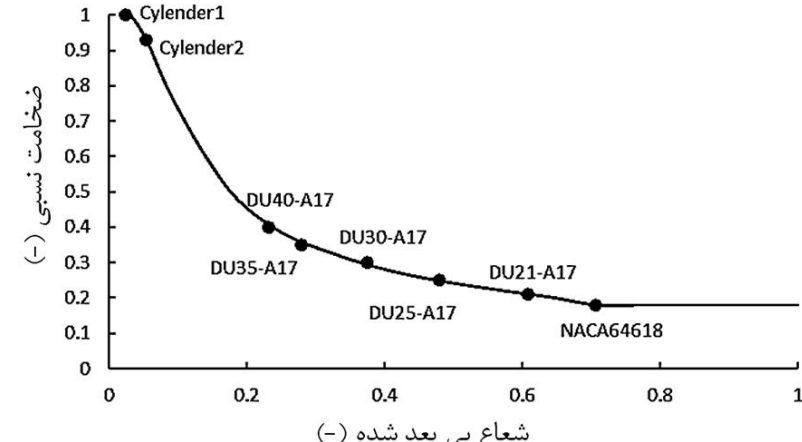
7- Axial induction factor  
8- Tangential induction factor  
9- Local speed ratio  
10- Actuator disk theory

ساخت توربین، به خصوص توربین‌های مگاواتی بومی‌سازی شود. عنوان این مقاله نیز در همین راستا انتخاب شده است. بنابراین پس از شرح روش و مقایسه نتایج به دست آمده از آن با توربین مرجع 5 مگاواتی، یک توربین 2/5 مگاواتی با در نظر گرفتن شرایط آب و هوایی لوئک در استان سیستان و بلوچستان طراحی شده است. در نهایت به منظور نشان دادن کارایی توربین طراحی شده در شرایط واقعی، شبیه‌سازی و حل سه‌بعدی آن به روش دینامیک سیالات محاسباتی<sup>1</sup> انجام شده و نتایج آن با نتایج به دست آمده از روش اندازه حرکت المان پره مقایسه شده است.

#### 2- مرجع طراحی، مشخصات توربین 5 مگاواتی

همان‌طور که گفته شد، در این مقاله طراحی آیرودینامیکی براساس توربین بادی 5 مگاواتی مرجع [6] مربوط به مؤسسه ملی انرژی‌های نوی ایالات متحده آمریکا انجام گرفته است. این توربین دارای روتور با قطر 126 متر و هاب<sup>2</sup> 3 متر بوده و به عبارتی طول پره 61/5 متر است. در این توربین از ایرفویل‌های دانشگاه دلف<sup>3</sup> در قسمت اصلی پره و از ایرفویل ناکا<sup>4</sup> در بخش نزدیک به نوک استفاده شده است. به علاوه قسمت متصل به هاب به شکل دایره است و به تدریج به شکل ایرفویل در می‌آید. شکل 1 تغییرات ضخامت نسبی در راستای طول پره و همچنین محل قرارگیری انواع ایرفویل‌های مورد استفاده را نشان می‌دهد. ضخامت نسبی به صورت، ضخامت ایرفویل در هر مقطع،  $t$ ، تقسیم بر طول وتر در همان مقطع،  $L$ ، تعریف می‌شود. شعاع نسبی نیز شعاع آن مقطع،  $r$ ، تقسیم بر شعاع پره،  $R$ ، می‌باشد. البته لازم به ذکر است که تنها اطلاعات نقاط رسم شده در مرجع مربوطه آمده است و بقیه نقاط نمودار با استفاده از آن‌ها رسم شده است. همچنین مشخصات آیرودینامیکی ایرفویل‌ها شامل ضریب برآ<sup>5</sup> و ضریب پسا<sup>6</sup> برای زوایای حمله مختلف که برای تحلیل آیرودینامیکی پره مورد نیاز است نیز در مرجع [6] در دسترس است. به علاوه سرعت باد نقطه کار توربین که در آن بیشترین توان را تولید می‌کند 11/4 متر بر ثانیه و سرعت دورانی چرخش روتور در این حالت 12 دور در دقیقه است.

در طراحی انجام شده در بخش بعد، ایرفویل‌ها و نیز جایگاه هر کدام به همان صورتی که در توربین مرجع 5 مگاواتی استفاده و در شکل 1 نشان داده شده است به کار رفته است. به علاوه شعاع توربین و ضخامت نسبی ایرفویل‌ها نیز تغییر داده نشده است و تنها طول وتر و زاویه پیچش به عنوان متغیر در طول پره در نظر گرفته شده‌اند.



شکل 1 تغییرات ضخامت نسبی ایرفویل در راستای طول پره و محل قرارگیری ایرفویل‌های مختلف از مرکز روتور در توربین مرجع 5 مگاواتی و توربین طراحی شده

1- Computational Fluid Dynamics (CFD)  
2- Hub  
3- Delft University (DU)  
4- NACA  
5- Lift coefficient ( $C_l$ )  
6- Drag coefficient ( $C_d$ )

که در آن  $\sigma$ ، سختی یا جامدیت روتور<sup>1</sup> است و به عنوان نسبت بخشی از المان حلقوی که توسط پرهها اشغال شده است تعریف می‌شود؛ رابطه (8).

$$\sigma = \frac{Bc}{2\pi r} \quad (8)$$

و  $C_a$  ضریب نیروی محوری است که در رابطه (9) آمده است.

$$C_a = C_l \cos\theta + C_d \sin\theta \quad (9)$$

در اینجا  $B$  تعداد پرههای توربین است. به علاوه  $C_l$  و  $C_d$  نیز به ترتیب ضریب برآ و پسا هستند.

با فرض حالت کاری پایا<sup>2</sup>، هر دو نیروی محاسبه شده توسط روابط (6) و (7) باید با هم مساوی باشند. با صرف نظر کردن از نیروی پسا، این دو معادله با هم ترکیب شده و عبارتی برای سختی روتور به صورتی که در رابطه (10) دیده می‌شود به دست می‌آید.

$$\sigma = \frac{4a \sin\theta}{(1-a)C_l} \frac{\sin\theta}{\cos\theta} \quad (10)$$

با جایگزینی  $\tan\theta$  از رابطه (4) و با توجه به تعریف سختی روتور، طول و تر ایده‌آل به صورت رابطه (11) به دست می‌آید.

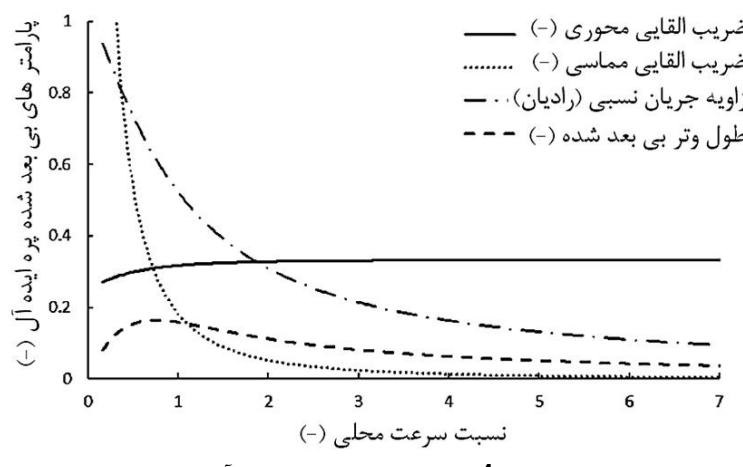
$$L_c = \frac{8\pi a V_\infty \sin\theta}{(1+a') B \omega C_l} \quad (11)$$

بنابراین اکنون هندسه ایده‌آل به طور کامل با استفاده از روابط (1) تا (5) و نیز رابطه (11) قابل محاسبه است. نمونه‌ای از یک هندسه ایده‌آل برحسب نسبت سرعت محلی در شکل 4 نمایش داده شده است. لازم به ذکر است که طول و تر بی بعد شده از تقسیم طول و تر بر شعاع پره به دست می‌آید.

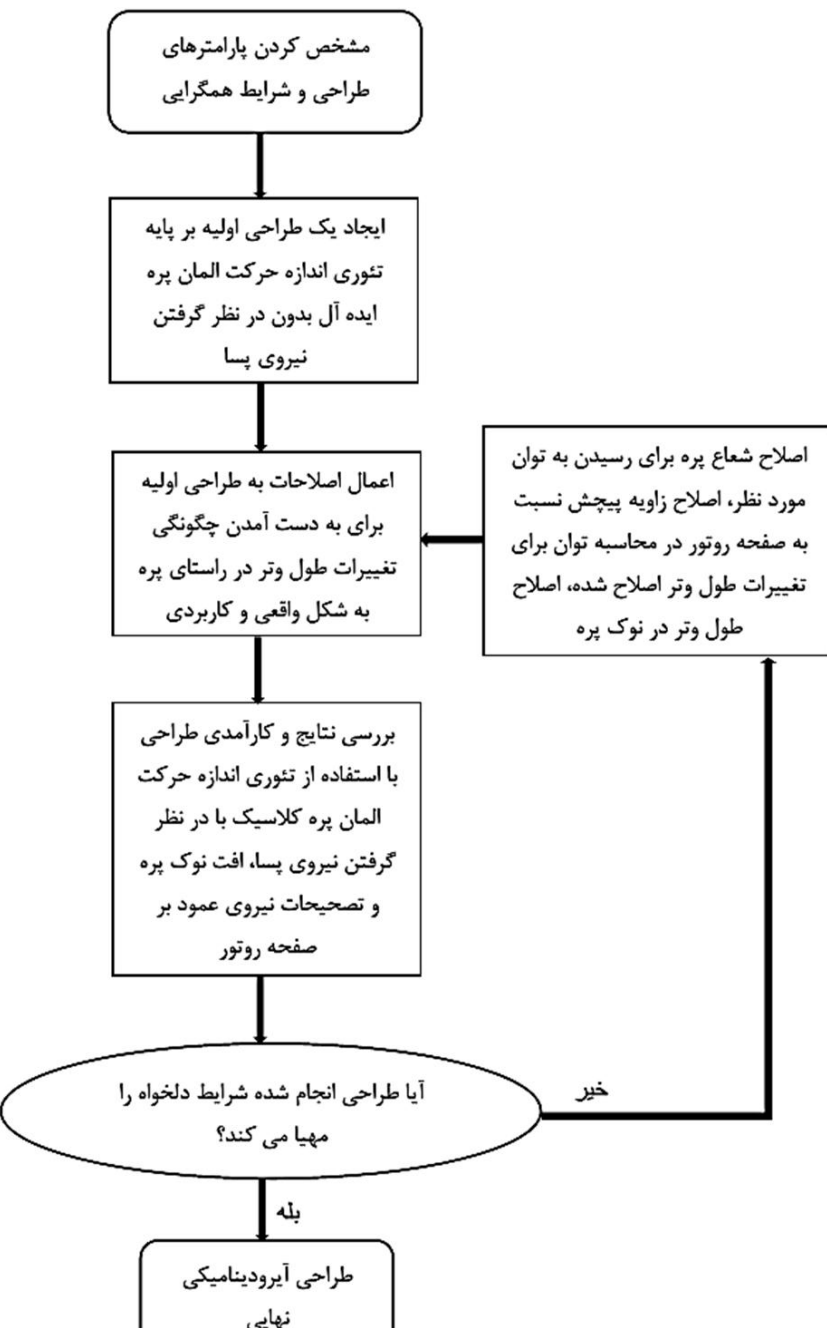
### 3-2- اصلاح طول و تر قسمت اصلی پره

از شکل 4 می‌توان مشاهده کرد که طول و تر ایده‌آل در نزدیکی ریشه<sup>3</sup> پره بسیار بزرگ می‌شود. دلیل این امر آن است که سرعت نسبی باد در این ناحیه بسیار کم است. از آنجا که در طراحی ایده‌آل نیروهای مماسی وارد بر پره در تمام المان‌ها به طور مساوی پخش می‌شود، بنابراین برای جبران کمی سرعت، سطح روبروی باد و در نتیجه طول و تر افزایش یافته است.

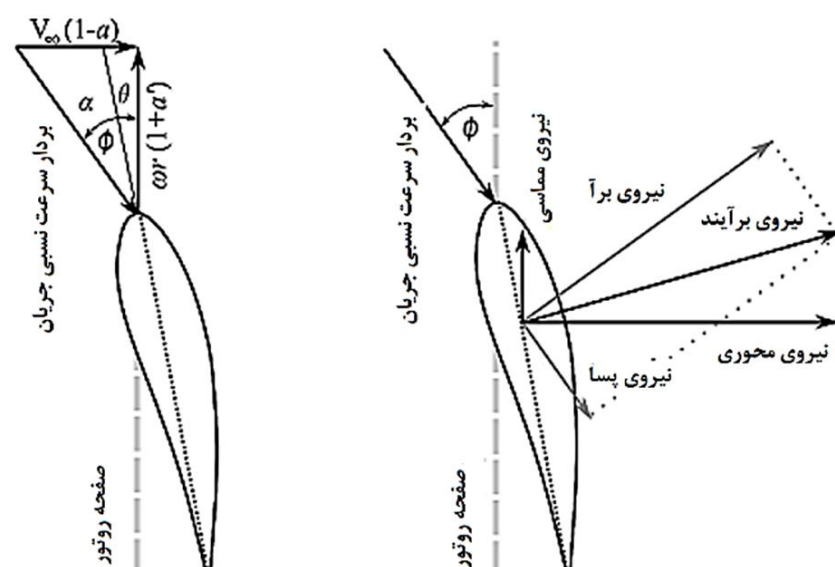
برای داشتن یک پره واقعی و کاربردی یک توربین بادی مگاواتی مدرن، طول و تر باید کاهش یابد. در این مقاله روشی ساده و قابل کنترل برای رسیدن به این مقصود ارائه شده است که در ادامه شرح داده می‌شود. در این روش پره به سه بخش اصلی تقسیم می‌شود و همان‌طور که در شکل 5 نشان داده شده است با چهار نقطه  $r_{1-4}$  از هم جدا شده اند.  $r_1$  نقطه اتصال پره به هاب است و  $r_2$  نوک پره را مشخص می‌کند.  $r_2$  نقطه‌ای است که طول و تر در آن بیشینه بوده و قسمت اصلی پره از این نقطه آغاز می‌شود و  $r_3$  نقطه‌ای از طراحی است که طول و تر بهینه و به عبارتی برابر با طول و تر ایده‌آل در آن نقطه است. طول  $l_2$  که در شکل 5 مشخص شده است، از امتداد خط رسم شده



شکل 4 پارامترهای یک پره ایده‌آل



شکل 2 روند کلی طراحی مورد استفاده در این مقاله



شکل 3 نیروهای وارد شده به یک مقطع از پره به همراه سرعت‌های نسبی باد

$$dT = 4\pi\rho V_\infty^2 a(1-a)rdr \quad (6)$$

به همین ترتیب با استفاده از تئوری اندازه حرکت المان پره کلاسیک، مؤلفه محوری نیروهای آیرودینامیکی وارد بر روتور برای المانی حلقوی مانند قبل به صورت رابطه (7) قابل محاسبه است.

$$dF_a = \sigma\pi\rho \frac{V_\infty^2(1-a)^2}{\sin^2\theta} C_a dr \quad (7)$$

1- Rotor solidity  
2- Steady state  
3- Root

میزان کاهش معمولاً از مدلی که به نام "ضریب تصحیح پرنتل"<sup>2</sup> مشهور است استفاده می شود که در رابطه (12) آمده است [11].

$$F = \frac{4}{\pi^2} \left( \cos^{-1} \left[ e^{-\frac{2}{Z} \frac{R_{tip}-r}{r \sin \theta}} \right] \cos^{-1} \left[ e^{-\frac{2}{Z} \frac{r-R_{hub}}{r \sin \theta}} \right] \right) \quad (12)$$

با اعمال ضریب تصحیح پرنتل، ضریب نیروی محوری القایی جدید با توجه به ضریب القایی محوری که همان مقدار ایده‌آل در نظر گرفته می شود، به شکل رابطه (13) قابل محاسبه است.

$$C_{a,new} = \frac{4F \sin^2 \theta}{\sigma \left( \frac{1}{a_{ideal}} - 1 \right)} \quad (13)$$

به دلیل آن که تغییرات در میزان ضریب نیروی پسا بسیار کمتر از ضریب نیروی برآ در ناحیه خطی است، ضریب نیروی جدید که مربوط به اعمال ضریب تصحیح پرنتل است را می‌توان با توجه به رابطه (9) به صورت رابطه (14) تخمین زد.

$$C_{l,new} = \frac{C_{a,new} - C_d \sin \theta}{\cos \theta} \quad (14)$$

با در نظر گرفتن شب تغییرات خطی برای  $\alpha/\partial \alpha$ ، تغییرات در زاویه حمله به صورت رابطه (15) خواهد بود.

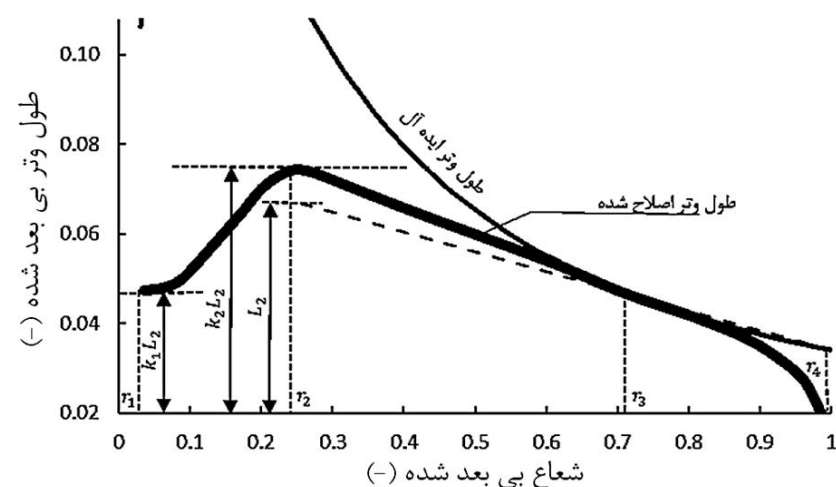
$$\Delta \alpha = \frac{\Delta C_l}{\partial C_l / \partial \alpha} = \frac{C_{l,new} - C_l}{\partial C_l / \partial \alpha} \quad (15)$$

و تصحیح زاویه پیچش به صورت  $(\alpha_{ideal} + \Delta \alpha) - \theta_{new} = \emptyset$ ، با توجه به رابطه (5) به دست می‌آید. لازم به ذکر است که این تصحیحات برای قسمت اصلی پره صورت گرفته و در یک فرآیند تکراری برای طراحی پره عمل می‌کند.

### 3-4-3- اصلاح ریشه و نوک پره

بخش‌های ریشه و نوک پره برای طراحی نیاز به توجه ویژه‌ای دارند. قسمت استوانه‌ای دارد. همان‌طور که در شکل 5 مشاهده می‌شود، قطر این شکلی استوانه‌ای دارد. ریشه را می‌توان از طول و تر بیشینه تعیین می‌شود و البته بستگی به استوانه به اندازه نسبتی از طول و تر بیشینه تعیین می‌شود و این بخش‌های دیگر ریشه را می‌توان از میان‌یابی بین دو نقطه  $r_1$  و  $r_2$  و براساس تغییرات ضخامت در راستای طول پره، شکل 1، و نیز شرایط مماسی در دو نقطه تعیین کرد به صورتی که در دو انتهای شب نمودار طول و تر صفر خواهد بود.

طراحی نوک پره را می‌توان ترکیبی از آیرودینامیک، آیروآکوستیک<sup>3</sup> و مسائل سازه‌ای که به منظور کنترل جابجایی نوک پره<sup>4</sup> در نظر گرفته می‌شود دانست. به طور کلی برای رسیدن به یک طراحی خوب و بهینه نوک پره به محاسبات و ملاحظاتی بسیار بیشتر از تئوری اندازه حرکت المان پره نیاز است؛ اما در این مقاله نوک پره بر این اساس طراحی و اصلاح می‌شود که یک توزیع نیروی واقعی و مناسب بر روی پره اعمال شود. با مشاهده شکل 6 دیده می‌شود که در نزدیکی نوک پره مقدار ضریب القایی محوری به شدت زیاد شده و حاصل آن است که نیروی محوری یا به عبارتی عمود بر صفحه روتور میزان گشتاور خمی زیادی به پره وارد می‌کند و باعث جابجایی و تغییر شکل زیاد پره در این جهت می‌شود. این موضوع علاوه بر این که به سازه توربین آسیب وارد می‌کند، سبب کاهش راندمان و کارآمدی آیرودینامیکی توربین نیز می‌شود. برای کاهش ضریب القایی محوری، می‌توان یکی از دو متغیر  $\theta$  یا  $L_c$  را کاهش داد. این بار زاویه پیچش ثابت نگه داشته شده و از طول و تر کاسته می‌شود. این کار با توجه به رابطه (13) و بازنویسی



شکل 5 نمایی کلی از روش اصلاحی برای طول و تر در این مقاله به منظور واقعی و کاربردی کردن هندسه پره توربین

بین دو نقطه از نمودار طول و تر ایده‌آل در نقاط  $r_3$  و  $r_4$  در نقطه‌ای به دست می‌آید که طول و تر بیشینه در آن نقطه در نظر گرفته شده است. بنابراین بیشینه طول و تر در نقطه  $r_2$  به صورت  $L_{c,max} = k_2 l_2$  خواهد بود که در آن  $k_2$  یک ضریب دلخواه است و در واقع به عنوان یک متغیر طراحی در نظر گرفته می‌شود. طول و تر اصلاح شده نیز به صورتی است که از نقطه  $r_3$  به بعد همان مسیر حالت ایده‌آل را دنبال می‌کند. این نقطه نیز یکی دیگر از متغیرهای طراحی است و باید انتخاب شود. اصلاح قسمتی از پره که بین نقاط  $r_2$  و  $r_3$  قرار دارد هم با استفاده از میان‌یابی و با توجه به شرایط مماسی در دو انتهای آن تعیین می‌شود؛ به صورتی که در نقطه  $r_2$  باید شب نمودار صفر و در نقطه  $r_3$  باید برابر با شب این نقطه در نمودار ایده‌آل باشد. در رابطه با طراحی قسمت نوک و ریشه پره در بخش‌های بعدی توضیح داده خواهد شد.

### 3-3- اصلاح زاویه پیچش قسمت اصلی پره

از شکل 5 مشاهده می‌شود که طول و تر اصلاح شده در قسمت داخلی پره به طور قابل توجهی نسبت به حالت ایده‌آل کاهش پیدا کرده است. این تغییر به آن معناست که اگر زوایای حمله در هر مقطع در همان مقدار ایده‌آل قبلی باقی بمانند، از گشتاور و توان تولیدی نیز به میزان چشم‌گیری کاسته خواهد شد. پس برای جبران کاهش سطحی که در برابر باد قرار می‌گیرد نیاز است که زاویه پیچش و در نتیجه زاویه حمله در هر سطح مقطع نیز تصحیح شده تا بتوان بیشترین بازدهی را از توربین طراحی شده به دست آورد. به همین منظور زاویه پیچش باید طوری تغییر یابد که زاویه حمله افزایش پیدا کند و در نتیجه نیروی برآ نیز افزایش یافته و در اثر آن انرژی دریافتی توربین بیشتر شود. به عبارتی دیگر ضریب القایی محوری به مقدار ایده‌آل آن که در شکل 4 نشان داده شده است نزدیک می‌شود.

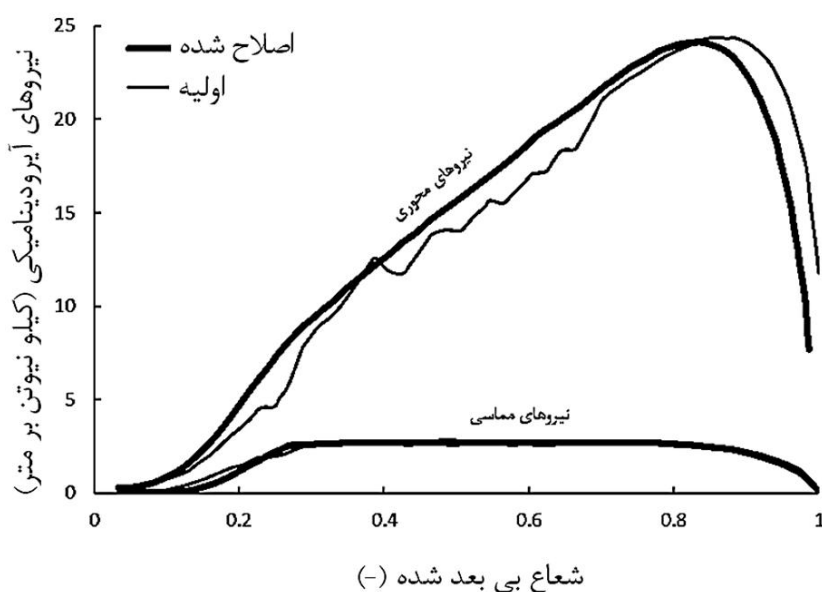
با افزایش زاویه حمله، ضریب نیروی پسا نیز افزایش می‌یابد اما در نزدیکی زاویه حمله ایده‌آل میزان افزایش در ضریب نیروی برآ به مراتب بیشتر از ضریب نیروی پسا خواهد بود. البته این نکته بسیار مهم است که افزایش در زاویه حمله نباید فراتر از ناحیه خطی نمودار ضریب برآ برحسب زاویه حمله رود و وارد ناحیه غیرخطی یا استال<sup>1</sup> شود. به علاوه باید به این نکته نیز توجه کرد که حل ایده‌آل براساس تئوری دیسک عملگر بوده و این تئوری تأثیر تعداد محدود پره‌ها را در نظر نمی‌گیرد بلکه با فرض بی‌شمار بودن پره‌ها بنا شده است. بنابراین مقدار نیروی برآی واقعی بسیار کمتر از حالت ایده‌آل است چرا که سطح مؤثر روتور کم می‌شود. برای محاسبه این

2- Prandtl's correction factor

3- Aero-acoustics

4- Tip deflection

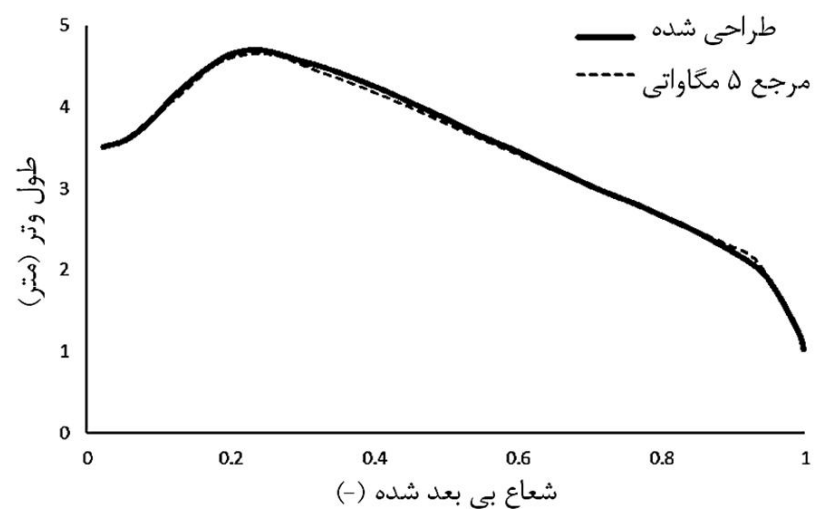
1- stall



شکل 7 مقایسه نیروهای آبودینامیکی محوری و مماسی در راستای طول پره قبل و بعد از اصلاحات بخش های 3-3 و 4-3

جدول 1 مقادیر در نظر گرفته شده برای متغیرهای تعریف شده برای اصلاح طول و تر

متغیر طراحی	مقادیر در نظر گرفته شده
$r_2$	0/24
$r_3$	0/73
$k_1$	0/70
$k_2$	1/08



شکل 8 مقایسه میان تغییرات طول و تر برای توربین طراحی شده و توربین مرجع 5 مگاواتی

تضمينی برای بهینه بودن تغییرات زاویه پیچش در طول پره وجود ندارد. به همین دلیل در انتهای طراحی باید برای زاویه پیچش یک بهینه‌سازی انجام پذیرد. تابع هدف‌های گوناگونی را می‌توان در نظر گرفت، اما همان‌طور که گفته شد معمولاً طراحی‌ها برای رسیدن به بیشترین انرژی دریافتی سالیانه صورت می‌پذیرد. برای این منظور به اطلاعات آماری آب و هوایی منطقه‌ای که توربین در آن نصب می‌شود نیاز است. شرایط آب و هوایی توربین طراحی شده، همان شرایط آب و هوایی توربین مرجع در نظر گرفته شده است [12]. تولید انرژی سالیانه از رابطه (18) محاسبه می‌شود.

$$AEP = \sum_{i=1}^{N-1} \frac{1}{2} (P(V_{i+1}) + P(V_i)) \cdot f(V_i < V_0 < V_{i+1}) \cdot 8760 \quad (18)$$

که در این رابطه  $f$ ، تابع احتمال چگالی<sup>1</sup> است که در اینجا از تابع تغییرات باد ویبول<sup>2</sup> استفاده شده است و در رابطه (19) آمده است. به علاوه  $P$  نشان دهنده توان تولیدی توربین در سرعت باد مورد نظر است.

1- Probability density function  
2- Weibull wind distribution

آن به شکل رابطه (16) انجام می‌پذیرد.

$$\sigma_{\text{new}} = \frac{4F \sin^2 \theta}{C_a (\frac{1}{a_{\text{ideal}}} - 1)} \quad (16)$$

و از تعریف سختی روتور و با توجه به رابطه (8) طول و تر جدید از رابطه (17) به دست می‌آید.

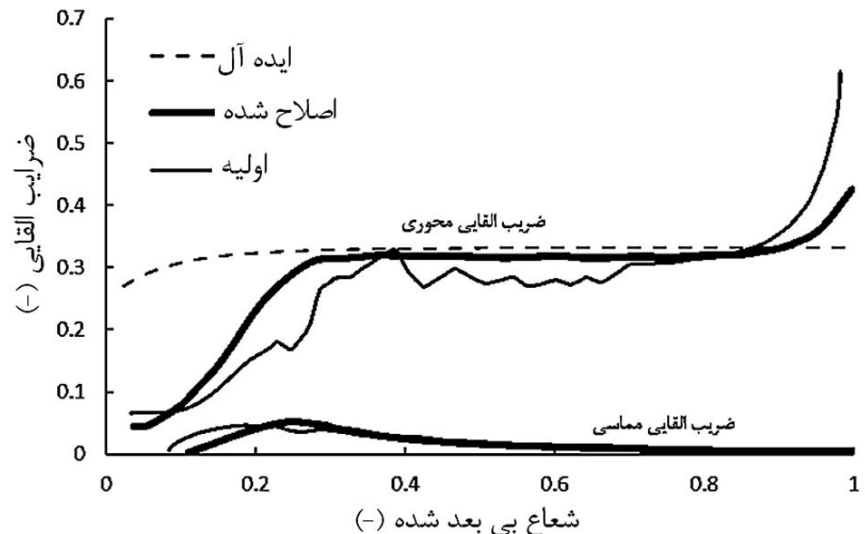
$$L_{c_{\text{new}}} = \frac{2\pi r \sigma_{\text{new}}}{Z} \quad (17)$$

به دلیل آن که توان تولیدی روتور به شکل نوک پره حساس است، این اصلاح باید در یک فرایند تکراری حل اعمال شود. لازم به ذکر است که این اصلاح تنها از نقطه‌ای که ضریب القایی محوری از مقدار ایده‌آل آن فراتر می‌رود اعمال شده و در عوض اصلاح زاویه پیچش نباید برای این بخش صورت بگیرد. شکل 6 ضرایب القایی محوری و مماسی و شکل 7 نیروهای آبودینامیکی محوری و مماسی را که بر هر المان طول پره وارد می‌شود را قبل و پس از طی مراحلی که در بخش 3-3 و 4-3 شرح داده شد، در راستای طول پره نشان می‌دهند.

#### 4- نتایج طراحی و بهینه سازی

با استفاده از فرآیند طراحی ارائه شده در بخش قبل، اکنون یک روش ساده برای طراحی آبودینامیکی واقعی و کاربردی پره توربین بادی در دست است. در اینجا پارامترهای طراحی طول و تر که در ذیل شکل 5 ذکر شد، طوری انتخاب شدند که نمودار طول و تر در راستای طول پره برای توربین طراحی شده با نمودار طول و تر توربین مرجع 5 مگاواتی ذکر شده در بخش 2 بیشترین مطابقت را داشته باشد. جدول 1. تغییرات طول و تر در راستای طول پره برای هر دو توربین مرجع و طراحی شده در شکل 8 رسم شده است که به خوبی توانایی روش استفاده شده برای تولید هندسه پره را نشان می‌دهد به‌طوری که با یک توربین واقعی ساخته شده قابل مقایسه است. عموماً تغییرات طول و تر در راستای طول پره نتیجه محاسبات دقیق بهینه‌سازی و ایجاد تعادل میان تولید انرژی سالیانه و نیروهای آبودینامیکی وارد بر سازه پره است؛ به همین دلیل در اینجا از توربین مرجع خوب برای مقایسه خواص نوی ایالات متحده آمریکا استفاده شده تا مبنای خوب برای مقایسه خواص سازه‌ای پره نیز باشد. به علاوه از شکل 8 مشاهده می‌شود که طراحی انجام شده برای نوک پره نیز به خوبی روند توربین مرجع را دنبال می‌کند.

شکل‌های 6 و 7 نشان می‌دهند که روش اصلاح زاویه پیچش باعث شده است تا نمودار تغییرات ضرایب القایی بهبود یابد و به تبع آن‌ها نیروهای آبودینامیکی به صورت یکنواخت و مناسب‌تری در طول پره وارد شوند. این روش طراحی ضریب توان مناسب و بالایی را برای توربین به دست می‌دهد اما



شکل 6 مقایسه ضرایب القایی محوری و مماسی در راستای طول پره قبل و بعد از اصلاحات بخش های 3-3 و 4-3

شده است که تئوری آن در مرجع [14] در دسترس است. نتایج نشان می‌دهند که بهینه‌سازی زاویه پیچش تأثیر بسیار کمی داشته به نحوی که تقریباً تغییری در انرژی تولیدی سالیانه ایجاد نشده است. البته این موضوع برای یک توربین با شیوه کنترل "سرعت متغیر-زاویه چرخش متغیر"<sup>9</sup> جای تعجب ندارد، چرا که در این روش کنترل، در سرعت‌های باد کمتر از سرعت طراحی<sup>10</sup>، سرعت دوران و زاویه چرخش توربین طوری تغییر می‌یابد که نسبت سرعت نوک پره و در نتیجه بازدهی توربین ثابت باقی بماند.

برای توربین‌های با سرعت ثابت<sup>11</sup> این موضوع صدق نمی‌کند و برای توربین‌هایی که دارای شیوه کنترلی استال<sup>12</sup> هستند، زاویه پیچش باید طوری اصلاح شود که میزان کاهش نیرو یا میرایی آیرودینامیکی<sup>13</sup> را که توسط تغییر زاویه حمله ایرفویل و افزایش نیروی پسای فشاری صورت می‌گیرد، افزایش دهد. تفاوت اصلی و اساسی میان طراحی اولیه و بهینه شده را می‌توان در فرآیند ساخت آن‌ها دانست. به دلیل آن که تغییر زاویه پیچش در توربین بهینه شده نسبت به طراحی اولیه یکنواخت تر و نرم<sup>14</sup> تر است، مسلماً ساختن آن ساده‌تر و دقیق‌تر خواهد بود. اما با تغییر دوباره زاویه پیچش اولیه، از یکنواختی نیروهای آیرودینامیکی وارد بر پره که در شکل 7 برای توربین اولیه نمایش داده شد، کاسته می‌شود. بنابراین همان‌طور که قبل<sup>15</sup> گفته شد، طراحی توربین فرآیندی چند بعدی است و برای طراحی نهایی یک توربین، باید شرایط سازه‌ای و اقتصادی و ساخت و تولیدی، همزمان با هم در نظر گرفته شود. اما به هر ترتیب آیرودینامیکی انجام شده پایه و اساس طراحی بوده و این در حالی است که نتایج حاصل شده به شرایط کاربردی و عملی بسیار نزدیک است.

## 5- طراحی آیرودینامیکی توربین بادی 2/5 مگاواتی در سیستان

ایران به دلیل مجاورت با دریا و همچنین وجود رشته کوه‌های البرز و زاگرس، کشوری بادخیز محسوب می‌گردد و نواحی بسیاری از ایران مناسب نصب و احداث نیروگاه بادی هستند. نقشه بادی ایران در مرجع [15] آمده است. منطقه لوک در نزدیکی زابل در استان سیستان و بلوچستان یکی از مناطقی است که پتانسیل خوبی برای این مقصود در آن وجود دارد. به همین منظور در این مقاله، این منطقه برای طراحی توربین بادی 2/5 مگاواتی انتخاب شده است. اطلاعات آماری باد منطقه در مرجع [16] در ارتفاع‌های 10، 20 و 40 متر مورد تجزیه و تحلیل و بررسی قرار گرفته است. اما از آن‌جا که اندازه توربین‌های مگاواتی بسیار بزرگ هستند و ارتفاع دکل آن‌ها تقریباً برابر با قطر رotor است به اطلاعات مربوط به ارتفاعات بیشتر و در حدود 80 متری نیاز است. به منظور بسط نتایج از نرمافزار آی.سی.ویند<sup>15</sup> استفاده شده است. با داشتن اطلاعات بادی یک منطقه، با استفاده از این نرمافزار می‌توان پروفیل باد در آن‌جا را تخمین زده و سرعت باد را در ارتفاع‌های متفاوت محاسبه کرد. در این‌جا سرعت باد طراحی 13 متر بر ثانیه و ضریب شکل و فاکتور مقیاس مربوط به توزیع باد ویبول به ترتیب 1/55 و 8/084 به دست آمده است.

### 5-1- طراحی مشخصات اولیه توربین

پس از مشخص شدن شرایط سایت مورد نظر، نوبت به مشخص کردن مشخصات توربین است. با توجه به مسائل مختلف همچون مسائل سازه‌ای و

$$f = \exp\left(-\left(\frac{V_i}{A}\right)^k\right) - \exp\left(-\left(\frac{V_{i+1}}{A}\right)^k\right) \quad (19)$$

$k$  به ترتیب ضریب شکل<sup>1</sup> و فاکتور مقیاس<sup>2</sup> نام دارند که از اطلاعات آماری آب و هوایی منطقه به دست می‌آیند. در این‌جا مقادیر به ترتیب 2/19 و 8/29 هستند.

به منظور رسیدن به یک نمودار ملائم و یکنواخت، یک خم بزیر<sup>3</sup> مرتبه چهارم بر روی نمودار تغییرات زاویه پیچش در راستای طول پره برای توربین طراحی شده اولیه فیت<sup>4</sup> شده و برای بهینه‌سازی مورد استفاده قرار گرفته است. منحنی بزیر به صورت رابطه (20) تعریف می‌شود [13].

$$B(\psi) = \sum_{r=0}^n P_r b_r(\psi) \quad (20)$$

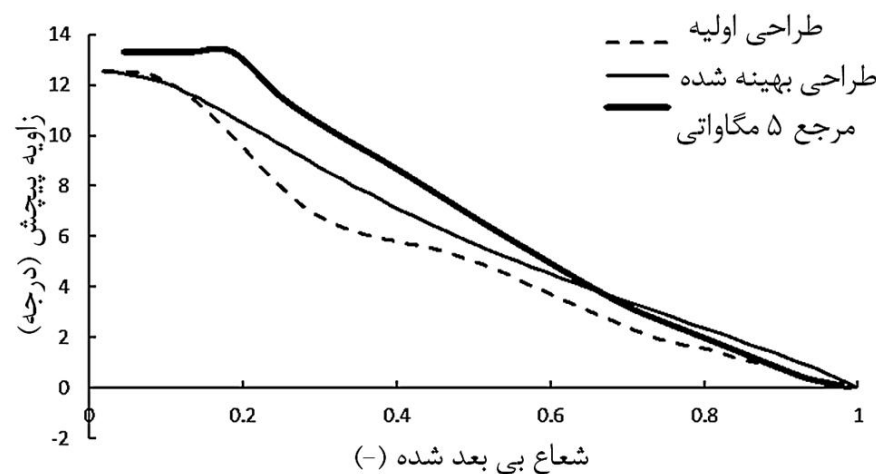
و در آن  $P_r$  نقاط کنترل بزیر و  $b_r$  چند جمله‌ای بین اشتاین<sup>5</sup> است که به صورت رابطه (21) تعریف می‌شود.

$$b_r(\psi) = \sum_{j=0}^n K_{j,n} (1-\psi)^{n-j} \psi^j \quad (21)$$

که در آن  $K_{j,n}$  طبق رابطه (22) به دست می‌آید:

$$K_{j,n} \equiv \binom{n}{j} \equiv \frac{n!}{j!(n-j)!} \quad (22)$$

با ثابت نگه داشتن نقاط ابتدایی و انتهایی نمودار و با اعمال شرط شیب صفر در ریشه پره، تعداد متغیرها از 5 متغیر، به 2 متغیر کاهش می‌یابد و نمودار زاویه پیچش بهینه از تغییر نقاط کنترل بزیر باقی مانده به دست می‌آید. نتایج حاصل از بهینه‌سازی انجام شده در شکل 9 نشان داده شده است و مقایسه‌ای بین آن و نمودار طراحی شده اولیه و نیز توربین مرجع صورت گرفته است. همچنین ضریب توان بیشینه و انرژی تولید سالیانه و نسبت سرعت نوک پره بهینه برای هر سه توربین در جدول 2 با هم مقایسه شده‌اند. لازم به ذکر است که از الگوریتم ژنتیک<sup>6</sup> به عنوان روش بهینه‌سازی استفاده



شکل 9 مقایسه میان تغییرات زاویه پیچش برای توربین طراحی شده اولیه و بهینه شده و توربین مرجع 5 مگاواتی

جدول 2 مقایسه نتایج و عملکرد توربین طراحی شده اولیه و بهینه شده با توربین مرجع 5 مگاواتی

توربین	ضریب توان تولیدی <sup>7</sup> انرژی تولیدی سالیانه	نسبت سرعت بیشینه (-)	نوك <sup>8</sup> بهینه (-)
طراحی شده اولیه	7/71	22/75	0/473
بهینه شده	7/68	22/76	0/473
مرجع 5 مگاواتی	7/55	22/79	0/482

1- Shape Factor

2- Scale Factor

3- Bezier curve

4- curve fitting

5- Bernstein polynomial

6- Genetic Algorithm (GA)

7- Power Coefficient ( $C_p$ )

8- Tip Speed Ratio (TSR)

9- Pitch regulation variable speed (PRVS) controlled turbine

10- Rated wind speed

11- Fixed speed turbine

12- Stall controlled turbine

13- Aerodynamic damping

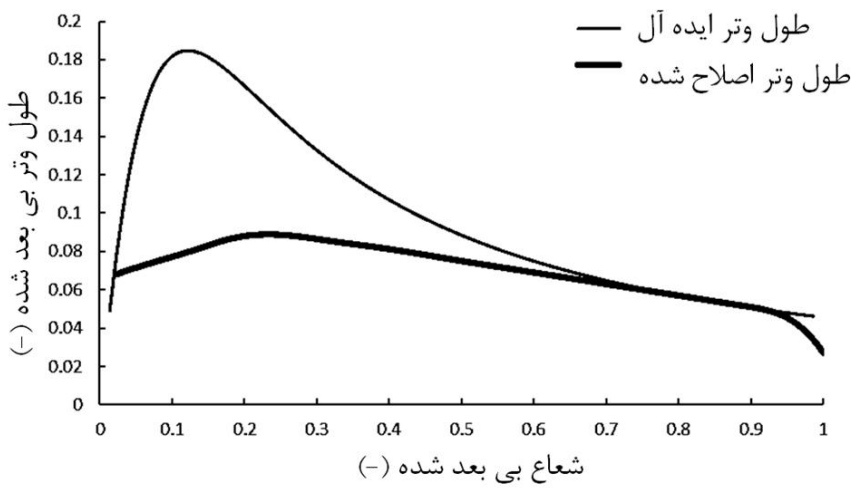
14- smooth

15- IECwind

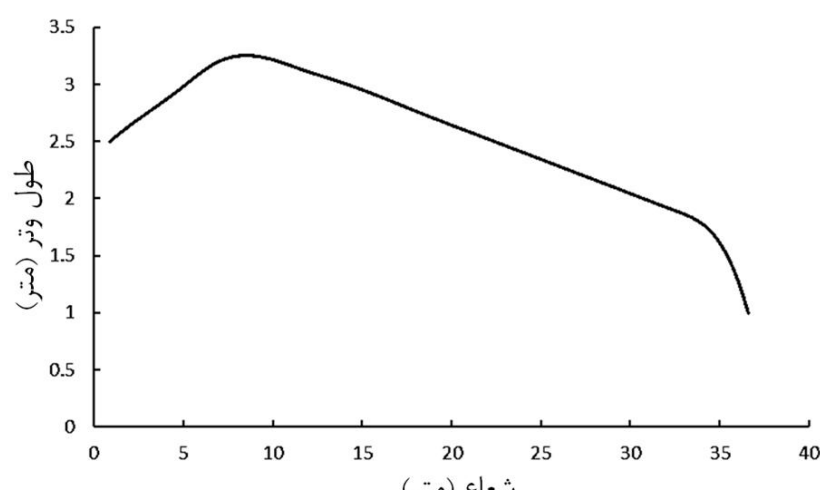
داشت. البته سرعت دورانی بیشینه آن نیز  $17/86$  دور بر دقیقه خواهد بود. پس با استفاده از روش ارائه شده در بالا می‌توان برای یک سرعت باد طراحی، یک هندسه مناسب برای هر توان موردنیاز را استخراج کرد. اما با تغییر شرایط و تغییر نسبت سرعت نوک طراحی هندسه عوض خواهد شد، به طور مثال شکل ۱۰ نمودار تغییرات طول وتر در حالت ایده‌آل و اصلاح شده را برای منطقه لوتک و سرعت باد طراحی  $13$  متر بر ثانیه و نسبت سرعت نوک  $6/154$  نشان می‌دهد و چنانچه انتظار می‌رفت با کاهش نسبت سرعت نوک طول وتر بی بعد شده در هر مقطع افزایش می‌یابد. شکل ۱۱ نیز تغییرات طول وتر را در حالت بی بعد نشده نمایش می‌دهد. لازم به ذکر است که مقادیر متغیرهای طراحی همان مقادیر جدول ۱ در نظر گرفته شده‌اند. شکل ۱۲ نیز نمودار تغییرات زاویه پیچش را در طول پره طراحی شده نشان می‌دهد. این نتایج بر طبق آنچه در بخش ۳ توضیح داده شد به دست آمده است.

### 5-3-5- بهینه سازی زاویه پیچش توربین طراحی شده

طبق آنچه در بخش ۴ ذکر شد، در این بخش یک خم بیزیر مرتبه ۶ از نمودار تغییرات زاویه پیچش توربین طراحی شده گذرانده شده و بهینه‌سازی با استفاده از الگوریتم ژنتیک با در نظر گرفتنتابع هدف تولید انرژی سالیانه انجام شده است. شکل ۱۳ نمودار تغییرات زاویه پیچش بهینه شده را نشان می‌دهد که همانند توربین ۵ مگاواتی نمودار نسبتاً صاف تر و یکنواخت‌تری را خواهیم داشت. همچنین  $0/3\%$  در مقدار انرژی تولید سالیانه بهبود حاصل شده است. لازم به ذکر است که برای این بهینه‌سازی از خم بیزیر مرتبه ۶ استفاده شده و دو انتهای آن ثابت نگه داشته شده و در واقع مسأله با چهار متغیر حل شده است. در نهایت شکل ۱۴ نمودار توان تولیدی بر حسب سرعت باد ورودی را نمایش می‌دهد.



شکل ۱۰ تغییرات طول وتر بی بعد شده در حالت ایده‌آل و اصلاح شده برای منطقه لوتک با استفاده از ایرفویل‌های استفاده شده در توربین مرجع ۵ مگاواتی و سرعت باد طراحی  $13$  متر بر ثانیه



شکل ۱۱ تغییرات طول وتر در راستای طول پره توربین  $2/5$  مگاواتی طراحی شده

نویز<sup>۱</sup>، توربین‌های مدرن امروزی دارای سه پره هستند که در اینجا نیز توربین با سه پره در نظر گرفته شده است. لازم به ذکر است که بنا بر آنچه گفته شد، روش کنترل "سرعت متغیر-زاویه چرخش متغیر" مدنظر قرار گرفته است. به علاوه از همان ایرفویل‌های توربین مرجع  $5$  مگاواتی و با همان ترتیب و محل قرارگیری نسبت به شعاع پره استفاده شده است؛ چنان‌چه در شکل ۱ نشان داده شد. این موضوع در رابطه با تغییرات ضخامت نسبی در طول پره نیز صحت دارد. اندازه روتور نیز با استفاده از رابطه (۲۳) محاسبه می‌شود که در آن  $D$  قطر روتور،  $P_{rated}$  توان نامی یا توان طراحی توربین،  $C_{p,rated}$  سرعت باد طراحی،  $\rho$  چگالی هوای بازده مکانیکی توربین و ضریب توان نامی یا ضریب توانی است که در نقطه طراحی مدنظر قرار می‌گیرد.

$$D = \sqrt{\frac{8 P_{rated}}{\rho \eta V_{rated}^3 C_{p,rated} \pi}} \quad (23)$$

با در نظر گرفتن سرعت باد طراحی  $13$  متر بر ثانیه، چگالی هوای  $1/2$  کیلوگرم بر متر مکعب و توان نامی  $2/5$  مگاوات و ضریب توان  $0/4795$  که برای توربین‌های مدرن امروزی عددی معمولی است. با توجه به رابطه (۲۳) قطر روتور  $73/2$  متر و به عبارتی روتوری با شعاع  $36/6$  متر به دست می‌آید. البته این عدد با در نظر گرفتن بازده مکانیکی  $94\%$  به دست آمده و در واقع  $6\%$  انرژی اتلافی توسط عناصر مکانیکی توربین در نظر گرفته شده است. به علاوه قطر هاب  $1/2$  متر در نظر گرفته شده است. از طرفی در توربین‌های بزرگی که امروزه طراحی می‌شوند، بیشینه سرعت نوک پره باید حدود  $75$  الی  $80$  متر بر ثانیه باشد در این حالت بیشینه صدای تولید شده ناشی از چرخش توربین‌ها از حد مجاز تجاوز نمی‌کند. در این پروژه بیشینه سرعت نوک پره  $80$  متر بر ثانیه در نظر گرفته شده است. بنابراین بیشترین سرعت دورانی مجاز برای توربین طراحی شده  $20/87478$  دور بر دقیقه خواهد بود.

### 5-2- طراحی شکل هندسی پره

با توجه به آنچه که در بخش ۳ گفته شد، روشی در دست است که می‌توان از آن برای ساخت هندسه اولیه یک توربین بادی مگاواتی استفاده کرد و چنان‌چه در بخش ۴ دیده شد، نتایج قابل قبولی به دست آورده. همان‌طور که مشاهده شد پایه و اساس هندسه به دست آمده، طول وتر در حالت ایده‌آل و به خصوص قسمت نزدیک به نوک آن است. از رابطه (۱۱) می‌توان دید که با فرض ثابت بودن نسبت سرعت نوک محلی پره، صرفنظر از شعاع پره و در واقع برای شعاع بی بعد شده، برای ضرایب القایی و زاویه جریان پروفیل یکسانی به دست می‌آید. به علاوه با ثابت نگه داشتن ایرفویل‌ها نسبت به شعاع بی بعد شده، پروفیل زاویه حمله ایده‌آل و به تبع آن زاویه پیچش پره نیز ثابت خواهد ماند. روابط (۱) تا (۴) که در نتیجه آن تغییرات طول وتر نیز با توجه به رابطه (۱۱) ثابت باقی خواهد ماند. پس می‌توان نتیجه گرفت که در صورتی که ایرفویل‌ها تغییر نکنند، در حل ایده‌آل تنها تغییر نسبت سرعت نوک پره باعث تغییر آن می‌شود. به عبارتی در این حالت با توجه به این که محدودیت سرعت نوک پره وجود دارد که معمولاً برای توربین‌های مگاواتی  $80$  متر بر ثانیه خواهد بود، در یک شرایط آب و هوایی خاص و سرعت باد طراحی یکسان حل ایده‌آل بی بعد شده برای هر شعاع و توانی یکسان خواهد بود. و چون شبی نقطه  $r_3$  نیز تغییر نمی‌کند، بنابراین با در نظر گرفتن سرعت باد طراحی  $11/4$  متر بر ثانیه و توان خروجی  $2/5$  مگاوات، توربین با همین هندسه ولی با قطر روتور  $89$  متر به جای  $126$  متر خواهیم

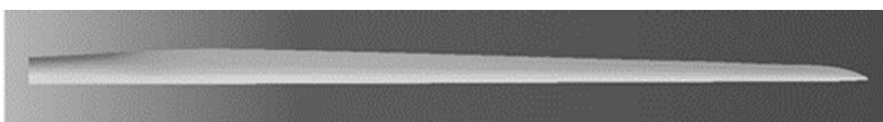
1- Noise

شد، اندازه توربین‌ها نیز روز به روز بزرگ‌تر شده و به تبع آن حجم محاسباتی نیز افزایش می‌یابد و این خود یکی از چال‌های طراحی توربین‌های بادی مگاواتی در کنار چالش‌هایی همچون مسائل سازه‌ای و ساخت مواد مقاوم و سبک و ... به شمار می‌رود [18]. به همین دلیل حتی امروزه استفاده از روش‌هایی همچون اندازه حرکت المان پره در بسیاری از طراحی‌ها و تحلیل‌ها استفاده می‌شود. از طرفی از آن‌جا که امکان سنجش آزمایشگاهی توربین‌های مگاواتی عملأ وجود ندارد و یا بسیار مشکل است شبیه‌سازی هر چه دقیق‌تر جریان سه‌بعدی گذرنده از آن‌ها برای سنجش عملکرد آن‌ها در شرایط کاری و مقایسه و صحت‌سنجی روش‌های سریع‌تر و ساده‌تر بسیار حائز اهمیت است. بنابراین در این بخش مدل سه‌بعدی توربین طراحی شده ساخته شده و نتایج به دست آمده از حل به روش دینامیک سیالات محاسباتی با نتایج روش اندازه حرکت المان پره مقایسه شده است.

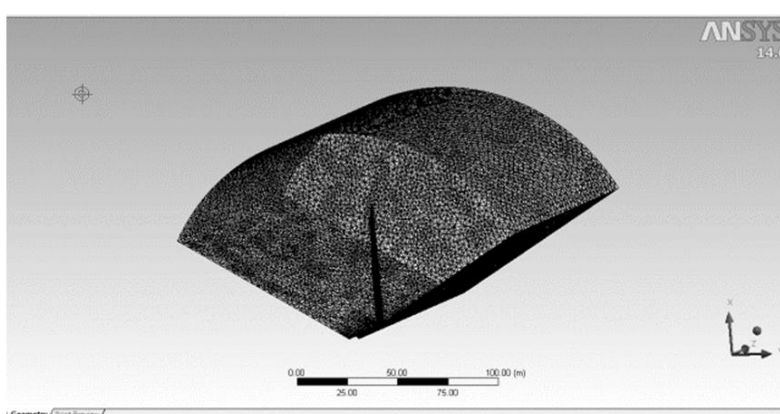
#### 1-6- مدل سازی هندسه و شبکه بنده<sup>2</sup> میدان حل

مشخص است که برای یک تحلیل آیرودینامیکی مناسب ابتدا به مدل سازی هر چه دقیق‌تر هندسه مورد نظر نیاز است. مشخصات هندسی ایروفولیل‌ها از مرجع [19] به دست آمده و با توجه به شکل‌های 11 و 13 هندسه پره توربین در نرمافزار کتیا<sup>3</sup> تولید و نمایی از آن در شکل 15 نمایش داده شده است. لازم به ذکر است که محور پیچش طبق آنچه در مرجع [6] آمده است در هر مقطع به اندازه یک چهارم طول وتر از نقطه مرکز آیرودینامیکی ایروفولیل مربوطه به سمت دم ایروفولیل<sup>4</sup> فاصله دارد. همچنین در این مطالعه به منظور کاهش هزینه محاسباتی تنها یک پره در نظر گرفته شده و سپس نتایج به دست آمده برای سه پره تعمیم داده شده است. شکل 16 نمایی از دامنه حل در نظر گرفته شده و شبکه‌بندی ایجاد شده با استفاده از نرمافزار آسیس آی‌سی‌ای‌ام<sup>5</sup> در اطراف پره را نشان می‌دهد که در سمت ورودی و خروجی جریان و سمت ساعی به ترتیب به اندازه شعاع پره، 3 برابر شعاع و 2 برابر شعاع در نظر گرفته شده است.

شرط مزی<sup>6</sup> مورد استفاده بر روی پره شرط مزی دیواره و با شرط عدم لغزش می‌باشد به علاوه در جریان بالادست توربین شرط مزی سرعت ورودی و در خروجی‌ها که قسمت پشت و بالای توربین هستند شرط مزی

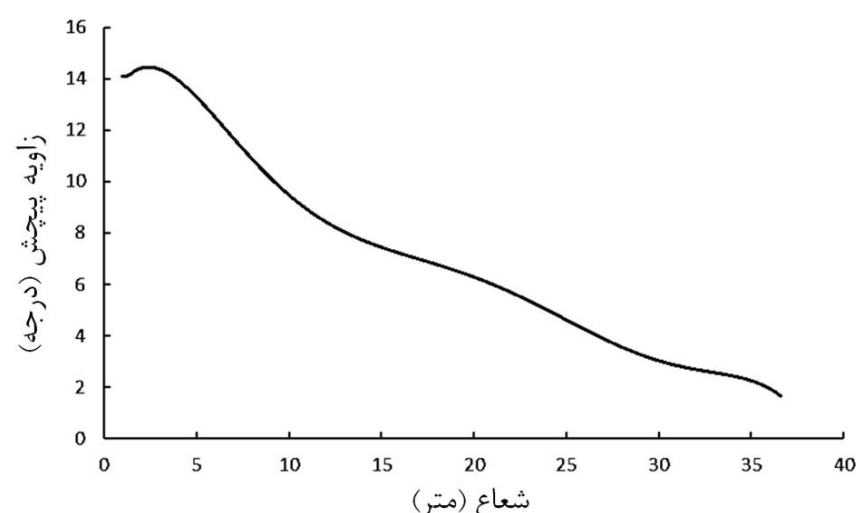


شکل 15 نمایی از هندسه پره طراحی شده در نرمافزار کتیا

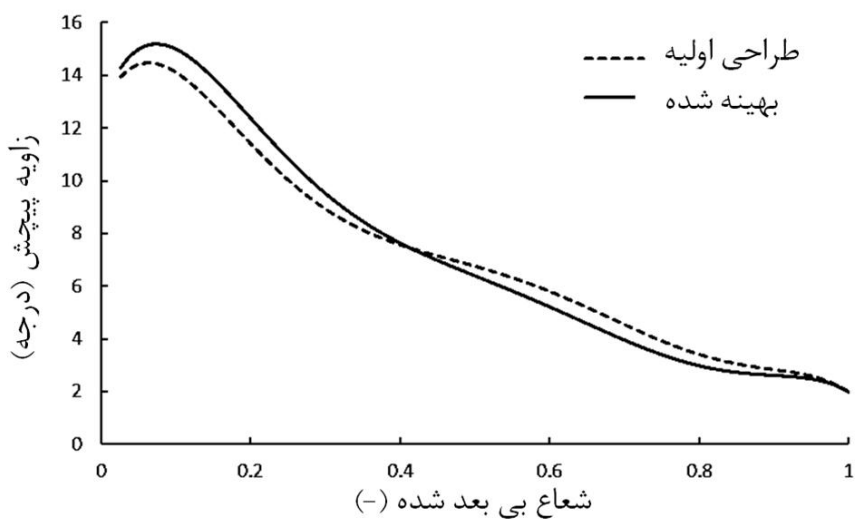


شکل 16 نمایی از دامنه حل و شبکه‌بندی آن به همراه شرایط مزی

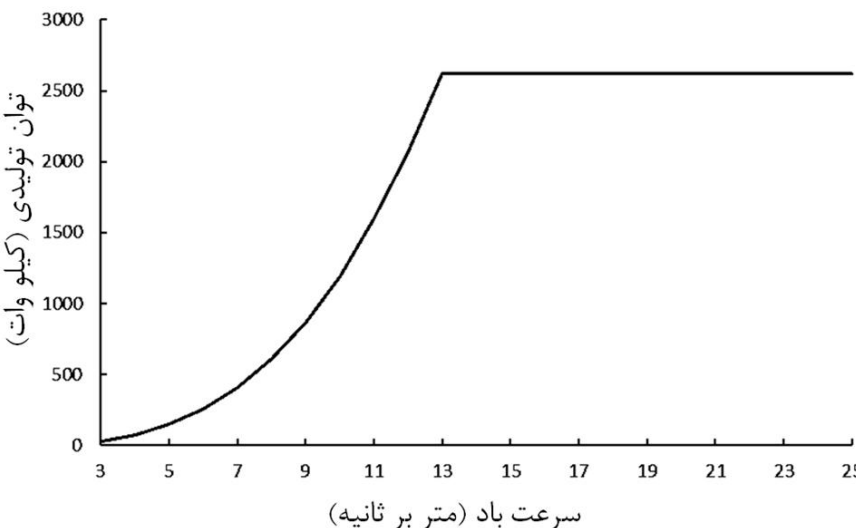
- 2- Meshing
- 3- Catia
- 4- Trailing edge
- 5- Ansys ICEM CFD v14.0
- 6- Boundary Conditions (B.C)



شکل 12 تغییرات زاویه پیچش در راستای طول پره توربین 2/5 مگاواتی طراحی شده



شکل 13 تغییرات زاویه پیچش بهینه شده در مقایسه با زاویه اولیه طراحی شده



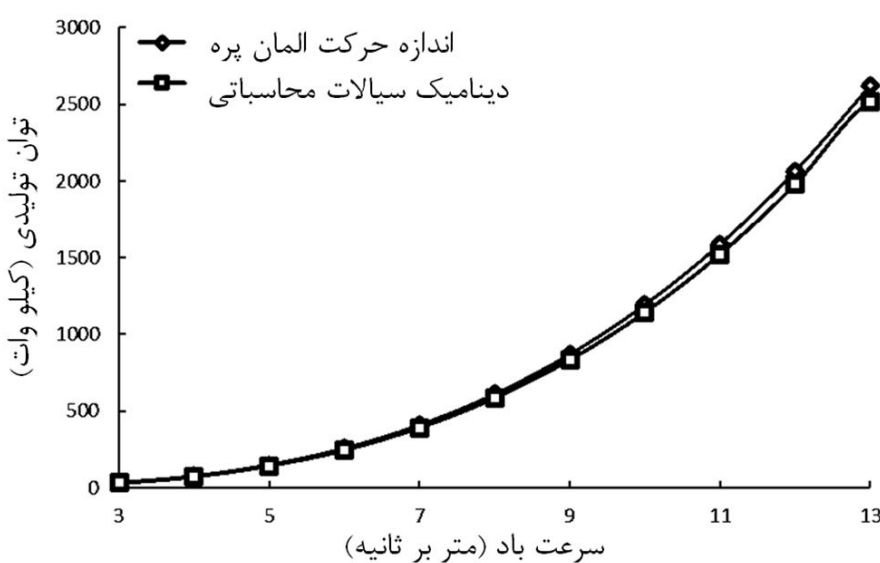
شکل 14 نمودار توان تولیدی بر حسب سرعت باد ورودی برای توربین طراحی شده 2/5 مگاواتی لوتك

#### 6- شبیه‌سازی سه بعدی توربین طراحی شده

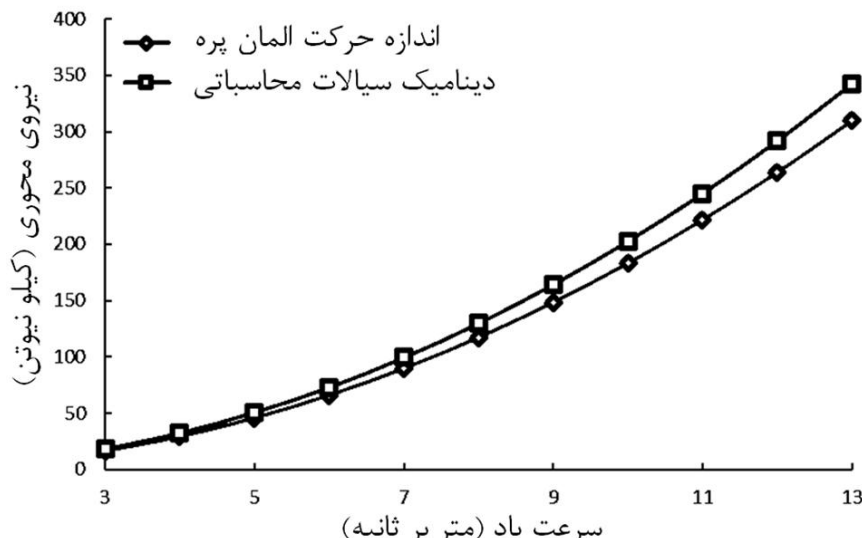
ابزارها و روش‌های بسیاری برای شبیه‌سازی و پیش‌بینی رفتار سیال گذرنده از اطراف پره‌های توربین بادی به وجود آمده و توسعه یافته است. از روش‌هایی مانند اندازه حرکت المان پره که هزینه محاسباتی نسبتاً کمی دارد تا روش‌های بسیار پیچیده‌تر مانند حل سه بعدی دینامیک سیالات محاسباتی که بسیار دقیق بوده اما هزینه محاسباتی بسیار بالایی دارد. اگرچه پیشرفته قدرت کامپیووترها در سال‌های اخیر بسیار سریع بوده است، استفاده از روش‌های پیشرفته برای پیش‌بینی رفتار سیال برای استفاده در فرایند طراحی و بهینه‌سازی، حتی در این زمان همچنان بسیار وقت‌گیر است. بنابراین به نظر می‌رسد که استفاده از این روش‌ها باید به عنوان ابزاری برای تحلیل پره طراحی شده استفاده شود به جای این که به عنوان قسمتی از فرایند تکراری<sup>1</sup> طراحی مورد استفاده قرار گیرد [17]. به خصوص این که همان‌طور که گفته

1- Iterative

گستته‌سازی معادلات حاکم با استفاده از روش مرتبه بالا<sup>10</sup> انجام گرفته است و شرط همگرایی رسیدن با قیمانده<sup>11</sup> حل همه متغیرها به 0/00001 بوده است. شکل‌های 19 و 20 به ترتیب نمودار تغییرات توان تولیدی و نیروی محوری را بر حسب تغییرات سرعت باد در نسبت سرعت نوک طراحی یعنی 6/15 نشان می‌دهند. از مشاهده این شکل‌ها می‌توان دید که تا رسیدن به سرعت باد طراحی هر دو روش روند یکسانی را طی می‌کنند. میانگین اختلاف دو روش برای توان حدود 5% و برای نیروی محوری حدود 10% است. شکل 21 نیز تغییرات ضریب توان را بر حسب نسبت سرعت نوک پره نمایش می‌دهد. به طور کلی علت اختلاف نتایج دو روش اثرات سه‌بعدی و آشفتگی جریان است که روش دینامیک سیالات محاسباتی بسیار دقیق‌تر این اثرات را محاسبه کرده و مدنظر قرار می‌دهد. علت اختلاف در نسبت سرعت نوک‌های پایین را می‌توان به پدیده تأخیر استال<sup>12</sup> مرتبط دانست. در روش اندازه حرکت المان پره جریان در راستای طول پره صفر در نظر گرفته می‌شود و به عبارتی جریان دو بعدی فرض شده در حالی که بر اثر ایجاد نیروهای سانتریفیوژ<sup>13</sup> ناشی از چرخش پره، در واقع جریان در جهت طول پره وجود دارد. در نسبت سرعت‌های بالا نیز با افزایش عدد رینولدز جریان، آشفتگی جریان و تأثیرات لایه مرزی افزایش می‌یابد. با این حال مشاهده می‌شود که علاوه بر این که هر دو روش از روند یکسانی پیروی می‌کنند، نقطه پیک نمودار که در واقع همان نقطه طراحی است نیز یکسان پیش‌بینی می‌شود.



شکل 19 مقایسه توان تولیدی پیش‌بینی شده برای توربین 2/5 مگاواتی طراحی شده توسط روش‌های اندازه حرکت المان پره و دینامیک سیالات محاسباتی



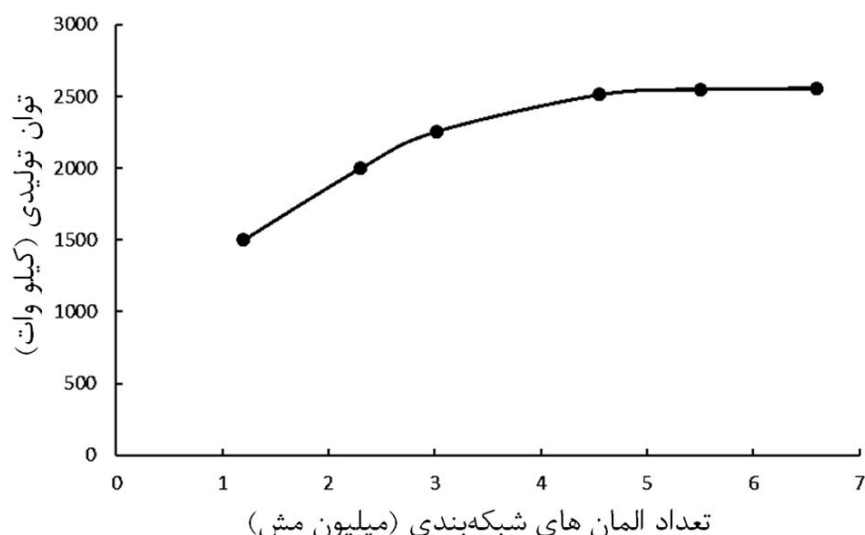
شکل 20 مقایسه نیروی محوری پیش‌بینی شده برای توربین 2/5 مگاواتی طراحی شده توسط روش‌های اندازه حرکت المان پره و دینامیک سیالات محاسباتی

فشار نسبی صفر قرار داده شده است. همچنین بر روی دو سطحی که با زاویه 120 درجه قرار گرفته اند به دلیل وجود دو پره دیگر شرط مرزی پریودیک اعمال شده است. تعداد المان‌های شبکه‌بندی ایجاد شده حدود 4/5 میلیون المان می‌باشد. این تعداد پس از انجام حل‌های مختلف و با توجه به شکل 17 که نمودار استقلال از شبکه‌بندی را نمایش می‌دهد به دست آمده است. نمایی از شبکه‌بندی بر روی پره و شبکه‌بندی لایه مرزی در یک مقطع از آن نیز در شکل 18 نشان داده شده است.

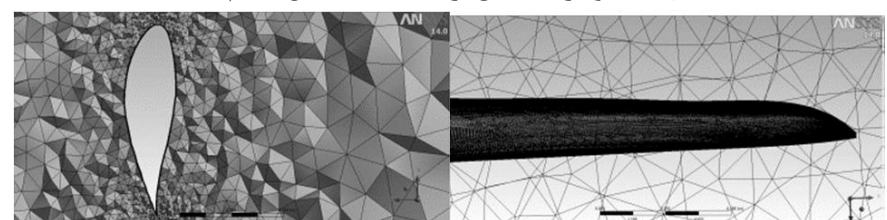
## 6-2- نتایج حل عددی

برای حل میدان سیال اطراف پره و به دست آوردن حل آیرودینامیکی از نرم‌افزار آنسیس سی‌اف‌ایکس<sup>1</sup> استفاده شده است. در این پژوهش برای شبیه‌سازی جریان سیال از روش حجم کنترل<sup>2</sup> و معادلات رنزا<sup>3</sup> بهره برده شده که برای جریان‌های درهم یا آشفته<sup>4</sup>، روشی مناسب برای کاهش هزینه محاسباتی به جای حل مستقیم معادلات نویر-استوکس<sup>5</sup> و در عین حال دارای دقت قابل قبول است. همچنین از مدل آشفتگی انتقال تنش برشی<sup>6</sup> بهره برده شده است. این مدل در لایه مرزی از مدل آشفتگی کی‌امگا<sup>7</sup> و در خارج لایه مرزی از مدل کی‌ای‌پی‌سیلوون<sup>8</sup> استفاده می‌کند و مزایای هر دو روش را همزمان داراست. این مدل دقت بسیار خوبی در پیش‌بینی جدایش در گرادیان‌های شدید دارد. به علاوه لازم به ذکر است که جریان هوا به صورت تراکم ناپذیر و در دما و فشار استاندارد بوده و حل به صورت پایا می‌باشد. همچنین در مدل‌سازی چرخش پره از روش تک مرجع چرخان<sup>9</sup> بهره برده شده است.

نتایج حاصل از حل به روش دینامیک سیالات محاسباتی در شکل‌های 19 تا 21 آمده است. همچنین در این شکل‌ها نتایج حل به روش اندازه حرکت المان پره نیز برای مقایسه آورده شده است. لازم به ذکر است که



شکل 17 نمودار استقلال از شبکه‌بندی حل انجام شده



شکل 18 نمایی از شبکه‌بندی بر روی پره و شبکه‌بندی لایه مرزی

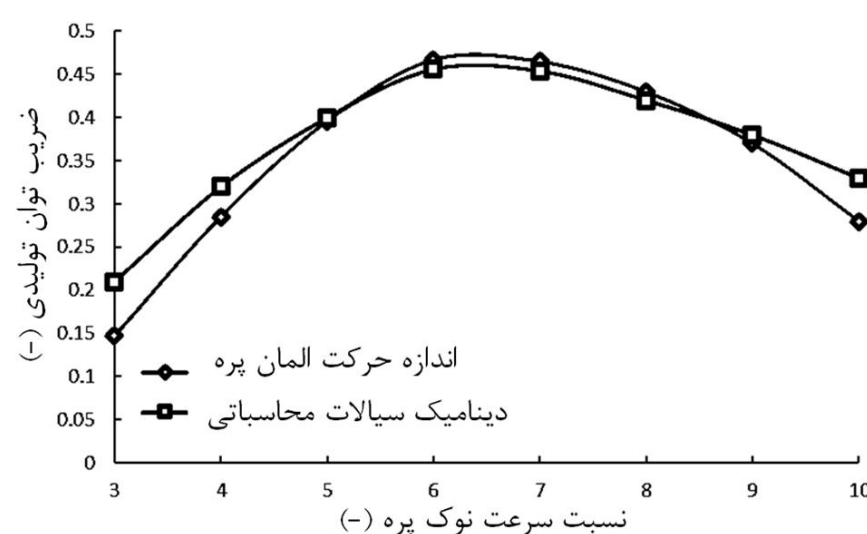
- 1- Ansys CFX v14.0
- 2- Control volume
- 3- Reynolds Average Navier-Stokes (RANS)
- 4- Turbulence
- 5- Navier-stokes equations
- 6- Shear Stress Transport (SST)
- 7- K- $\omega$
- 8- K- $\epsilon$
- 9- Single (moving) Reference Frame (SRF)

### 8- فهرست علائم

عدد ضریب القایی محوری	$a$
عدد فاکتور مقیاس در توزیع باد ویبول	$A$
تولید انرژی سالیانه ( $\text{kg m}^2 \text{s}^{-1}$ )	$AEP$
عدد ضریب القایی مماسی	$a'$
خم بزر	$B$
چند جمله‌ای برن استاین	$b_i$
عدد ضریب نیروی محوری وارد بر رتور	$C_a$
عدد ضریب نیروی پسای ایرفویل	$C_d$
عدد ضریب نیروی برآی ایرفویل	$C_l$
عدد ضریب توان تولیدی	$C_p$
قطر روتور (m)	$D$
عدد تابع احتمال چگالی	$f$
عدد ضریب تصحیح پرنتل	$F$
عدد ضریب شکل در توزیع باد ویبول	$k$
طول وتر (m)	$L_c$
توان تولیدی توربین ( $\text{kg m}^2 \text{s}^{-2}$ )	$P$
نقاط کنترل بزر	$P_i$
فاصله المان از مرکز روتور یا شعاع المان (m)	$r$
شعاع روتور (m)	$R$
ضخامت ایرفویل (m)	$t$
نیروی محوری وارد بر روتور ( $\text{kg m s}^{-2}$ )	$T$
عدد نسبت سرعت نوک پره	$TSR$
سرعت باد ورودی ( $\text{m s}^{-1}$ )	$V_\infty$
عدد تعداد پره های توربین	$Z$
علایم یونانی	
زاویه حمله (rad)	$\alpha$
عدد بازده مکانیکی توربین	$\eta$
زاویه پیچش وتر ایرفویل نسبت به صفحه روتور (rad)	$\theta$
عدد پی	$\pi$
چگالی هوا ( $\text{kg m}^{-3}$ )	$\rho$
عدد نسبت سرعت	$\lambda$
عدد سختی یا جامدیت روتور	$\sigma$
زاویه جریان (rad)	$\phi$
عدد متغیر خم بزر	$\psi$
سرعت دورانی روتور ( $\text{rad s}^{-1}$ )	$\omega$
زیرنویسها	
محوری	$a$
ایدهآل	$\text{ideal}$
بیشینه	$\text{max}$
محلی	$r$
طراحی	$\text{rated}$

### 9- مراجع

- [1] Global Wind Energy Council (GWEC). *Global wind 2009 report*; 2009.
- [2] W. Tong, *Wind Power Generation and Wind Turbine Design*, WIT Press, 2010.
- [3] A. Sedaghat, M. Mirhossini, *Aerodynamic design of a 300 kW horizontal axis wind turbine for province of Semnan*. Energy Conversion and



شکل 21 مقایسه نمودارهای ضریب توان بر حسب نسبت سرعت نوک برای توربین 2/5 مگاواتی طراحی شده پیش‌بینی شده توسعه روش‌های اندازه حرکت المان پره و دینامیک سیالات محاسباتی

بنابراین با توجه به آنچه در مقدمه بخش 6 گفته شد، با توجه به هزینه محاسباتی بالای روش دینامیک سیالات محاسباتی، به خوبی و با اطمینان می‌توان از روش اندازه حرکت المان پره استفاده کرد و استفاده از آن در طراحی و بهینه‌سازی نیز قابل قبول و مناسب است.

### 7- نتیجه گیری

در این مقاله روشی کاربردی برای طراحی آیرودینامیکی پره توربین بادی مگاواتی بر پایه تئوری اندازه حرکت المان پره ارائه شد. در این روش چگونگی اعمال تصحیحات بر روی نمودار تغییرات طول وتر و زاویه پیچش در طول پره به منظور نزدیک کردن هندسه آن به شکل عملی و کاربردی در بخش -های گوناگون پره به طور جداگانه شرح داده شد. مزیت این روش آن است که طراحی پره بر پایه تعداد متغیرهای ورودی بسیار محدودی انجام می‌گیرد و در عین حال نتایج به دست آمده از آن مطابقت خوبی با توربین مرجع 5 مگاواتی که یک توربین واقعی و ساخته شده است نشان می‌دهد. بنابراین استفاده از این روش می‌تواند برای دست یافتن به یک طراحی اولیه آیرودینامیکی، پایه‌ای مناسب باشد به علاوه این‌که با توجه به انطباق خوب آن با یک توربین واقعی می‌توان گفت تا حد خوبی مسائل سازه‌ای نیز در آن در نظر گرفته می‌شود که برای توربین‌های بزرگ اهمیت دارد. در انتهای طراحی اولیه، یک بهینه‌سازی توسط روش الگوریتم ژنتیک و استفاده از خم بزر به روی منحنی زاویه پیچش و با در نظر گرفتن تولید انرژی سالیانه به عنوان تابع هدف انجام شد که این کار باعث نرم‌تر و یکنواخت‌تر شدن تغییرات زاویه پیچش در طول پره گردید که به فرآیند ساخت و تولید آن نیز کمک می‌کند. در نهایت با استفاده از این روش یک توربین 2/5 مگاواتی با در نظر گرفتن شرایط آب و هوایی منطقه لوتس در نزدیکی زابل در استان سیستان و بلوچستان طراحی شد که مشخصات کلی و شکل هندسی متعارف و قابل قبولی دارد. در آخر به منظور نشان دادن کارایی توربین طراحی شده در شرایط واقعی، شبیه سازی و حل سه‌بعدی آن به روش دینامیک سیالات محاسباتی انجام شده است. سپس نتایج آن با نتایج به دست آمده از روش اندازه حرکت المان پره مقایسه شد که از هر دو روش روند کلی و نقاط پیک یکسانی به دست آمد. با توجه به هزینه محاسباتی بالای روش دینامیک سیال محاسباتی، اختلاف حدود 5 درصد در توان تولیدی و اختلاف حدود 10 درصد در نیروی محوری وارد بر روتور نشان می‌دهد که استفاده از روش اندازه حرکت المان پره در طراحی و بهینه‌سازی قابل قبول و مناسب است.

- [12] A. Beeken, T. Neumann, and A. Westerhellweg, *Five years of operation of the first offshore wind research platform in the german bight FINO1*, Tech rep, DEWIGmbH, 2008.
- [13] Bezier curve. Accessed 25 March 2015; <http://www.en.wikipedia.org/Bezier curve>.
- [14] Genetic algorithm. Accessed 1 April 2015; <http://wwwen.wikipedia.org/Gene tic algorithm>.
- [15] G. Najafi and B. Ghobadian, LLK1694-wind energy resources and development in Iran. Renewable and Sustainable Energy Reviews, 2011. 15(6): p. 2719-2728.
- [16] A. Razavieh, A. Sedaghat, R. Ayodele, A. Mostafaeipour, Worldwide energy status and the characteristics of wind energy in Iran, case study: the province of Sistan and Baluchestan. International Journal of Energy, 2014.
- [17] P. Brøndsted, P. L. Rogier, Nijssen, *Advances in wind turbine blade design and materials*. Woodhead Publishing Series in Energy: Number 47,2013.
- [18] J. Hoyland, Challenges for large wind turbine blades, PHD Thesis, NTNU, 2009.
- [19] N. Timmer, DOWEC blade airfoil data, (excel document). Delft University of Technology, 2009.
- [4] K. Bumsuk, K. Woojune, S. Bae, J. Park, M. Kim, *Aerodynamic design and performance analysis of multi-MW class wind turbine blade*, Mechanical Science and Technology, Seoul, Korea, 2011.
- [5] K. Bumsuk, K. Woojune, L. Sanglae, S. Bae, Y. Lee. *Developement and verification of a performance based optimal design software for wind turbine blades*, Renewable Energy, 2012.
- [6] J. Jonkman, S. Buttefield, W. Musial and G. Scott, *Definition of a 5-MW reference wind turbine for offshore system development*, Tech. rep, National Renewable Energy Laboratory, 2009.
- [7] T. Burton, D. Sharpe, N. Jenkins and E. Bossanyi. *Wind Energy Handbook*, WILEY, UK , 2001.
- [8] J. F. Manwell, J. G. McGowan, A. L. Rogers, *Wind energy explained: theory design and application*. John Wiley& Sons Inc; 2010.
- [9] M. O. L. Hansen, *Aerodynamics of Wind Turbines*, Second Edition, Earthscan Publications, 2008.
- [10] L. Dong, M. Liao, Y. Li, X. Song, K. Xu, *Study on Aerodynamic Design of Horizontal Axis Wind Turbine Generator System*, International Conference on Energy and Environment Technology, 2009.
- [11] Moriarty and Hansen, *AeroDyn theory manual*. Tech.rep, National Renewable Energy Laboratory, 2005.